

УДК 535.34 : 548.0

ОБ ЭКСИТОННЫХ СОСТОЯНИЯХ РЯДА ЧИСТЫХ И СМЕШАННЫХ МОЛЕКУЛЯРНЫХ КРИСТАЛЛОВ

I. СПЕКТРЫ ПОГЛОЩЕНИЯ КРИСТАЛЛОВ *n*-ДИХЛОР-,
n-ДИБРОМ- И *n*-БРОМХЛОРБЕНЗОЛОВ

Г. В. Климушева и Р. В. Яремко

В работе обсуждаются спектры поглощения чистых кристаллов *n*-дихлор-, *n*-дибром- и *n*-бромхлорбензолов, исследованных в поляризованном свете при 4° К. Экспериментальные результаты используются для анализа экситонных зон кристаллов.

Энергетические состояния смешанных молекулярных кристаллов еще недостаточно хорошо изучены. Имеющиеся по этому вопросу работы посвящены в основном либо исследованию кристаллов с малым содержанием примеси [1], либо изучению смешанных кристаллов изотопных соединений [2, 3]. В настоящем цикле работ будут приведены результаты исследования электронных состояний смешанных молекулярных кристаллов ароматических соединений трех различных двухкомпонентных систем, образующих твердые растворы во всем возможном интервале изменения концентраций. Перед обсуждением этого материала в I части дан анализ электронных спектров поглощения исходных чистых кристаллов *n*-дихлор-, *n*-дибром- и *n*-бромхлорбензолов. Качественные характеристики ультрафиолетовых спектров этих кристаллов были получены в работах [4–6]. В настоящей статье даны результаты измерения интенсивностей ряда основных полос поглощения кристаллов, анализ формы и тонкой структуры отдельных экситонных полос.

Методика эксперимента

Для исследования энергетического строения кристаллов были получены электронные спектры поглощения *n*-дихлор-, *n*-дибром- и *n*-бромхлорбензолов в области ~2800 Å при 4° К на спектрографе ДФС-13.

Измерение интенсивностей поглощения проведено методом фотографического фотометрирования. Так как чисто электронный переход в исследованных соединениях разрешен уже в свободных молекулах, для измерения интенсивностей соответствующих полос потребовались сравнительно тонкие кристаллы толщиной около 0.4–0.5 мкм. Кристаллы выращивались из расплава в тонкой кварцевой кювете. Их толщина определялась компенсационным методом с использованием величины двупреломления, известной для $\lambda=5461$ Å. Влияние большей части отраженного света от кристаллов автоматически исключалось при фотометрировании спектров путем выбора на негативе начала отсчета почернения в области прозрачности кристалла [7]. Учитывая достаточно большую полуширину исследованных полос ($25\div90$ см⁻¹), влиянием аппаратной функции [8] можно было пренебречь.

Источником света служила ксеноновая лампа ДКСП-1000. Исследования кристаллов проведены в поляризованном свете. Для исключения ошибок от неточного скрепления поляризаторов с кристаллом при фото-

графировании спектров использовались два параллельных поляризатора (призмы Николя), установленные до и после кристалла [9].

Препараты были предварительно очищены как многократной перекристаллизацией, так и зонной плавкой (100–120 зон). Исследованные кристаллические пластинки соответствуют *bc*-плоскости α -модификации.

Энергетические состояния кристаллов

Кристаллы *n*-дибром-, *n*-дихлор- и *n*-бромхлорбензолов относятся к федоровской группе C_{2h}^5 –(P_2) с двумя молекулами в элементарной ячейке [10]. Местная группа симметрии молекулы в кристалле — C_i . Используя эти сведения и метод Уинстона [11], можно показать, что из молекулярного электронного уровня B_{3u} (в предположении, что симметрия свободных молекул D_{2h}) в кристалле образуются две экситонные зоны. Волновые функции для точки $k=0$ этих зон соответствуют неприводимым представлениям A_u (b), B_u (a' , c) фактор-группы кристалла C_{2h} . Электронные переходы в точку $k=0$ рассматриваемых зон разрешены при поляризации вектора световой волны вдоль осей a , b и c кристалла. Кроме того, направления дипольного момента чисто электронного перехода в кристалле в указанные выше экситонные зоны $P_1=d_1+d_2$, $P_2=d_1-d_2$ можно определить по ориентации дипольных моментов перехода молекул d_1 и d_2 в элементарной ячейке. Так, было найдено, что P_1 расположен вдоль оси b кристалла, а P_2 параллелен плоскости ac . Эти данные находятся в соответствии с теоргруповыми правилами отбора и, как будет видно из дальнейшего, хорошо согласуются с наблюдаемой поляризацией чисто электронных полос в спектрах исследованных кристаллов.

Экспериментально наблюдаемое чисто электронное поглощение исследованных кристаллов, как и ожидалось, представляет собой дублет полос. Частоты обнаруженных дублетов полос (ν в см^{-1}), значения давыдовского расщепления ($\Delta\nu$ в см^{-1}), величины поляризационных отношений (Π) приведены в табл. 1. Спектральные зависимости коэффициентов поглощения исследованных кристаллов даны на рис. 1–3.

Как видно из табл. 1, обнаруженное расщепление чисто электронных полос поглощения кристаллов несколько меньше теоретически рассчитанных величин $\Delta\nu$ [4, 5]. Экспериментально полученное поляризационное отношение полос (Π) (табл. 1) близко к вычисленному по модели ориентированного газа, если считать, что момент чисто электронного перехода в молекуле направлен вдоль средней оси (M), а момент электронно-колебательного перехода $00+\nu_{6b}$ — вдоль длинной оси (L).

Ориентация осей L и M молекул *n*-дихлор- и *n*-дибромбензолов в соответствующих элементарных ячейках была вычислена по координатам атомов и оказалась совпадающей с расчетами работы [6]. Углы, образованные L и M в молекулах *n*-бромхлорбензола с осями кристалла, имеют следующие значения:

	a'	b	c
L	—	$56^{\circ}20'$	$68^{\circ}24'$
M	$36^{\circ}15'$	$46^{\circ}10'$	$68^{\circ}05'$

В табл. 2 представлены вычисленные силы осцилляторов чисто электронного перехода в кристаллах *n*-дихлор-, *n*-дибром-, *n*-бромхлорбензолов.

Полосы поглощения исследованных кристаллов сравнительно широки даже при 4°K . Так, полуширина b -полосы *n*-дихлорбензола равна 40 см^{-1} , *n*-дибромбензола — 25 см^{-1} . Поглощение кристаллов *n*-бромхлорбензола оказалось наиболее диффузным и широкополосным (полуширина полос 85 см^{-1}). Вероятно, это может быть связано со статистически неупорядоченным расположением молекул в кристалле в отношении атомов Cl и Br [10]. Кривые поглощения $k(\nu)$ имеют довольно резкое длинноволновое крыло и более пологое коротковолновое, т. е. характеризуются положительной асимметрией. Кроме того, коротковолновый край чисто элек-

затора

пере-
занные
кации.

сяется
тарной
 C_i .
что из
иммет-
зоны.
димым
ктрон-
поляри-
е того,

в кри-
можно
кул d_1
вдоль

я в со-
чно из
чисто

ие ис-
дублет
давы-
шений
ов по-

онных
ассчи-
ацион-
ориен-
 перехода
олеба-

з в со-
ннатам
обра-
имают

элек-
бензо-

ироки
 0 см^{-1} ,
ензола

полос
орядо-
з Cl и
новое
ложи-
элек-

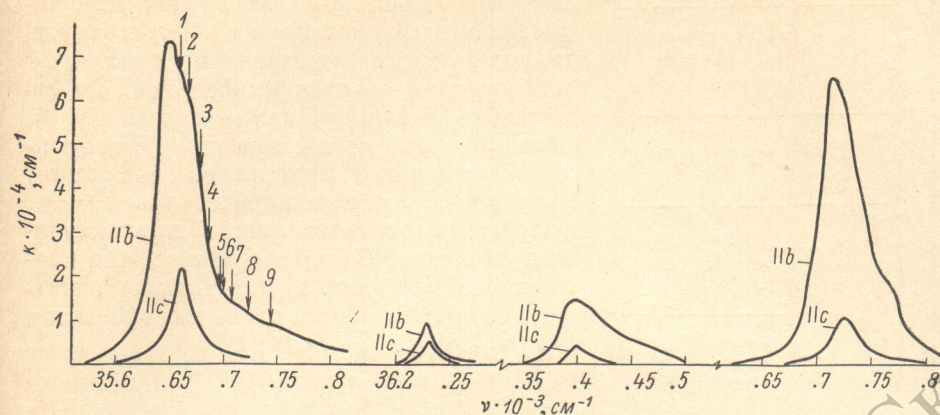


Рис. 1. Спектр поглощения кристалла *n*-дихлорбензола в поляризованном свете при 4.2° К (толщина кристаллов $0.5 \div 2.5 \text{ мкм}$).

Здесь и на рис. 2, 3: 1—9 — фоновые частоты, определенные по спектрам комбинационного рассеяния кристаллов *n*-дихлор-, *n*-дибром-, *n*-дибромухлорбензолов [14, 15].

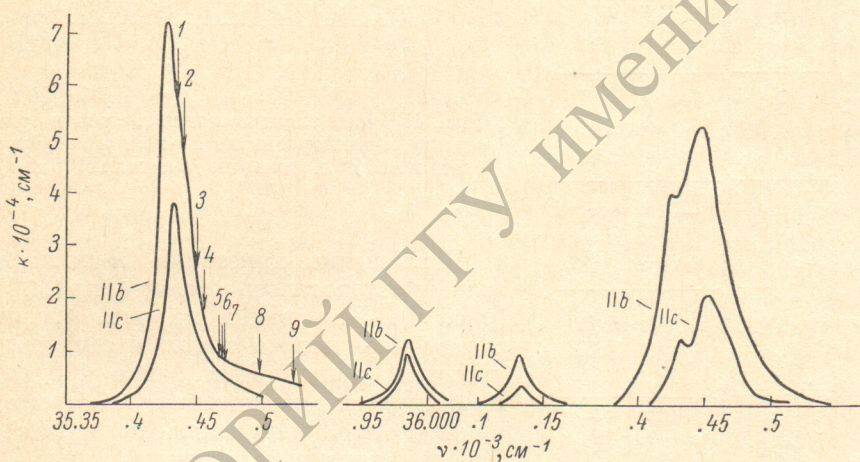


Рис. 2. Спектр поглощения кристалла *n*-дибромбензола в поляризованном свете при 4.2° К (толщина кристаллов $0.5 \div 2 \text{ мкм}$).

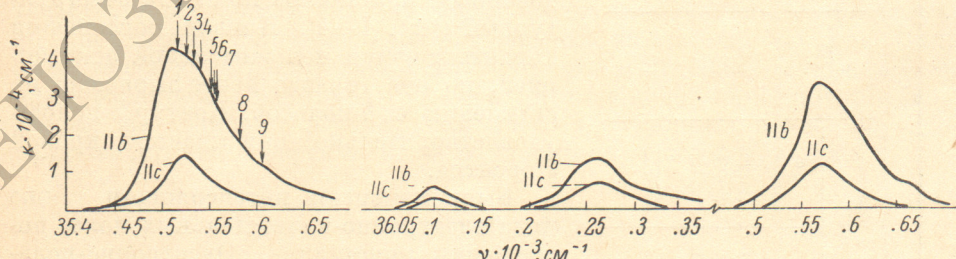


Рис. 3. Спектр поглощения кристалла *n*-бромхлорбензола в поляризованном свете при 4.2° К (толщина кристаллов $0.5 \div 2 \text{ мкм}$).

РЕПОЗИТОРИЙ
УНИВЕРСИТЕТА

Таблица 1

<i>n</i> -C ₆ H ₄ Cl ₂				<i>n</i> -C ₆ H ₄ Br ₂				<i>n</i> -C ₆ H ₄ BrCl			
ν полос в кристалле, см ⁻¹		ν полос в парах, см ⁻¹		ν полос в кристалле, см ⁻¹		ν полос в парах, см ⁻¹		ν полос в кристалле, см ⁻¹		ν полос в парах, см ⁻¹	
<i>b</i>	<i>c</i>	<i>b</i>	<i>c</i>	<i>b</i>	<i>c</i>	<i>b</i>	<i>c</i>	<i>b</i>	<i>c</i>	Δν, см ⁻¹	Δν, см ⁻¹
35650	35660	10	5.5 : 1	35748	35426	5	3.5	35650	35512	35522	10
36228	36230	2	1.5 : 1	36282	35983	2	1.5 : 1	36177	36104	—	4 : 1
36400	36400	—	10 : 1	36476	36127	3	3.2 : 1	36345	36265	—	2.2 : 1
γ _{00+6b}	γ ₀₀₊₁	36715	36725	10	8 : 1	36810 {	36425 {	36652	36566	36572	2.5 : 1
γ _{00+7a}						36450 {	36450 {				3.8 : 1

тронных полос имеет дополнительную структуру (рис. 1). Наличие ступенек и изменение в ряде мест наклона коротковолнового края *b*-полос поглощения исследованных кристаллов свидетельствует, по-видимому, о формировании их за счет возбуждения оптических фононов. Действительно, фононные частоты (рис. 1–3), обнаруженные по спектрам комбинационного рассеяния кристаллов *n*-дихлор-, *n*-дибром-, *n*-бромхлорбензолов [14, 15], разрешены по симметрии и в электронных спектрах. Следует отметить, что аналогичный вид (рис. 1) имеет чисто электронная полоса кристалла *n*-дихлорбензола и при 1.8° К.

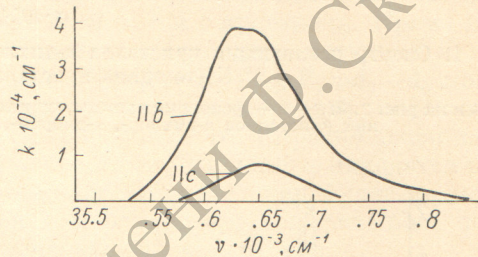


Рис. 4. Чисто электронное поглощение кристалла *n*-дихлорбензола в поляризованном свете при 77° К (толщина кристалла 0.8 мкм).

Поглощение кристалла *n*-дихлорбензола исследовалось также при 77° К (рис. 4). Как видно из рис. 4, чисто электронная полоса при этой температуре уширена (полуширина равна 105 см⁻¹). Коэффициент поглощения в максимуме примерно в 2 раза ниже по сравнению с соответствующей величиной при 4° К. Площадь кривых при 77 и 4° К примерно одинакова. Экспериментальная форма полос близка к гауссовой.

Контур *c*-полосы поглощения исследованных кристаллов при 4° К бесструктурный (рис. 1–4). Кривая поглощения характеризуется положительной асимметрией, но она гораздо менее выражена по сравнению с *b*-полосой. Контур *c*-полосы удовлетворительно описывается кривой Лоренца.

Были измерены интенсивности также ряда электронно-колебательных полос поглощения кристаллов. Электронно-колебательные полосы, соответствующие переходу 00 + γ_{6b} с участием неполносимметричного колебания γ_{6b}, менее интенсивны в спектре по сравнению с чисто электронными полосами и имеют другое поляризационное отношение. Величина поляри-

Таблица 2

	<i>n</i> -C ₆ H ₄ Cl ₂	<i>n</i> -C ₆ H ₄ Br ₂	<i>n</i> -C ₆ H ₄ BrCl
<i>f_b</i>	1.28 · 10 ⁻³	0.78 · 10 ⁻³	1.29 · 10 ⁻³
<i>f_c</i>	0.18 · 10 ⁻³	0.28 · 10 ⁻³	0.29 · 10 ⁻³
<i>f_{a'}</i>	~1.20 · 10 ⁻³	~0.78 · 10 ⁻³	~1.33 · 10 ⁻³
<i>f₀₀</i> полное	2.66 · 10 ⁻³	1.84 · 10 ⁻³	2.90 · 10 ⁻³

П р и м е ч а н и е. *f_{a'}* вычислено по модели ориентированного газа.

зационного отношения 00 + ν_{6b}-полос (табл. 1) свидетельствует об ориентации данного дипольного момента перехода вдоль длинной оси молекулы.

Наиболее интенсивными в спектрах являются полосы, принадлежащие переходу 00 + ν_{7a}. Этот электронно-колебательный переход в кристалле *n*-дихлорбензола испытывает наиболее заметное экситонное расщепление (рис. 1—3). Колебание ν_{7a}, как и в спектрах соответствующих паров [12—15], участвует в серии многоквантовых повторений, а также других комбинаций с полно- и неполносимметричными колебаниями. Контуры полос, соответствующих его возбуждению, в спектрах исследованных кристаллов оказался сложным и неодинаковым (рис. 1—3). Вероятно, это связано с наложением других электронно-колебательных переходов.

Необычным для электронно-колебательного перехода с участием полносимметричного колебания оказалось поляризационное отношение полос, обусловленных 00 + ν₁-переходом (табл. 1). По-видимому, этот факт подтверждает предположение работы [3] о небольшом изменении структуры молекулы при возбуждении. При этом наблюдаемое поляризационное отношение полос, соответствующих 00 + ν₁-переходу, свидетельствует об изменении направления дипольного момента перехода по сравнению с 00-переходом на 4—5°. Общим свойством колебаний молекул *n*-дихлор-, *n*-дибром-, *n*-бромухлорбензолов оказалось их изменчивость в зависимости от агрегатного состояния. Так, например, сравнение относительного положения полос поглощения паров и кристаллов галоидопроизводных бензола (см., например, табл. 1) показало, что величины некоторых колебаний заметно увеличиваются при агрегации молекул в кристалле.

Таким образом, как показывает анализ спектров, чисто электронные полосы исследованных кристаллов характеризуются небольшими величинами расщепления, но в то же время являются довольно широкими даже при 1.8° К. По-видимому, резкий длинноволновый край *b*- и *c*-полос при низких температурах, лорентцова форма *c*-полос поглощения свидетельствует о слабости экситон-фононного взаимодействия в кристаллах. В этом случае ширины полос поглощения исследованных кристаллов характеризуются раскрытием экситонных зон в интервале существования длинноволновых экситонов [16], равном приблизительно 50—170 см⁻¹. Малые же величины расщепления чисто электронных полос, вероятно, свидетельствуют о перекрытии *b*- и *c*-экситонных зон в кристаллах.

Литература

- [1] Д. Мак-Клюр. Усп. физ. наук, 74, 87, 1961.
- [2] В. Л. Броуде. ФТТ, 11, 1159, 1969.
- [3] Е. Ф. Шека. Изв. АН СССР, сер. физ., 27, 503, 1963.
- [4] S. C. Sirkar, T. N. Misra. Ind. J. Phys., 33, 45, 1959.
- [5] T. N. Misra. Ind. J. Phys., 33, 276, 1959.
- [6] G. Castro, R. M. Hochstrasser. J. Chem. Phys., 46, 3617, 1967.
- [7] М. С. Бродин, А. Ф. Прихотько, М. С. Соскин. Укр. физ. ж., 5, 725, 1960.

- [8] М. С. Соскин. Укр. физ. ж., 4, 239, 1959.
 [9] М. С. Бродин, С. В. Марисова. Опт. и спектр., 10, 473, 1961.
 [10] А. И. Китайгородский. Органическая кристаллохимия. М., 1955.
 [11] H. Winston. J. Chem. Phys., 19, 156, 1951.
 [12] H. Sponer, E. Telle. Rev. Mod. Phys., 13, 76, 1941.
 [13] Г. В. Климушева, Г. М. Сорока. Укр. физ. ж., 1971.
 [14] Н. Н. Порфирьева. ЖЭТФ, 22, 590, 1952.
 [15] Е. Ф. Гросс, А. В. Коршунов, В. А. Селькин. ЖЭТФ, 22, 579, 1952.
 [16] Э. Н. Мясников. Укр. физ. ж., 12, 1509, 1967.

Поступило в Редакцию 10 августа 1970 г.

РЕПОЗИТОРИЙ ГГУ имени Ф. Скорини

Да
дианох
перату
станта
зависи
хвачен
термов

Ис
вает Г
плетн
что п
спект
можн
антиф
Вс

лишь
детал
ными

В
вого а
зовани
нения
сов но
в изу
хода
трех
ции м
мени
интег
expr (-
зовали
импу
менно
ровал

В
ничес
π-эле
тельн
гидро

1
универ